

Research Paper

Quantitative and Qualitative Study of Effective Parameters on Surface Lithography with Scanning Tunneling Microscope¹

Reza Saber^{*2}, Mansoureh Karimi Meshkani³, Iraj Baratloo⁴
and Mitra Abedini⁵

Received:2020.02.04

Revised:2020.12.19

Accepted:2021.02.09

Abstract

In this study, we surveyed the possibility of nanometer scale lithography in ambient condition using a scanning tunneling microscope. Optimized parameters for this purpose have been determined. The study will be hopefully an initiative step toward further progress in manufacturing nano-bio chips and nano-bio electromechanical systems utilized for diagnosis and treatment purposes in medical areas. Tests showed that the scanning tunneling microscope lithography yielded the same result in each test and thus it was reproducible. Using STM microscopy, nanostructures were first created in the form of protruding points on the surface. Then we created linear structures, more complex forms, and finally we were able to write some words. Nanostructures were created on gold surfaces by tungsten, gold, platinum-palladium tips. It is found that the voltage used in lithography is effective on creating nanostructures, and also on the size of nanostructures, so that with increasing voltage, the size of nanostructures increases too. The speed of tip is also another important factor that can affect nanostructures size and their continuity. Time interval between consecutive pulses influences on the nanostructures integration and its value should be specified based on conditions and purposes of lithography. The size of nanostructures ranged between 20 and 150 nm. Tip geometry, humidity and temperature are also likely to be influential factors that require further studies to investigate their effects.

Keywords: *STM, Nanostructures, Gold Surfaces, Lithography.*

¹ DOI: 10.22051/ijap.2021.30175.1147

² Assistant Professor, Advanced Medical Technologies and Equipment Institute: Research Center for Science and Technology in Medicine. Tehran University of Medical Sciences, Tehran, Iran. (Corresponding Author). Email: rsaber@sinia.tums.ac.ir

³ M.Sc. in Photonics, Advanced Medical Technologies and Equipment Institute: Research Center for Science and Technology in Medicine. Tehran University of Medical Sciences, Tehran, Iran.
Email: Karimi.mansoreh1@gmail.com

⁴ M. Sc. in Electronic Engineering, Advanced Medical Technologies and Equipment Institute: Research Center for Science and Technology in Medicine. Tehran University of Medical Sciences, Tehran, Iran. Email: irajbaratloo@gmail.com

⁵ M. Sc. in Medical Nanotechnology. School of Advanced Technologies in Medicine, Department of Medical Nanotechnology, Tehran University of Medical Sciences, Tehran, Iran.
Email: abedinimitra@yahoo.com.

<https://jap.alzahra.ac.ir/>

مطالعه و بررسی کمی و کیفی پارامترهای مؤثر در انجام لیتوگرافی سطح با میکروسکوپ تونلی روبشی^۱

رضا صابر^{*}^۱، منصوره کریمی مشکانی^۲، ایرج براتلو^۳ و میترا عابدینی^۴

تاریخ دریافت: ۱۳۹۸/۱۱/۱۵

تاریخ بازنگری: ۱۳۹۹/۰۹/۲۹

تاریخ پذیرش: ۱۳۹۹/۱۱/۲۱

چکیده

در این مطالعه امکان انجام لیتوگرافی در مقیاس نانومتری در شرایط اتمسفر محیطی با کمک میکروسکوپ STM بررسی و پارامترهای بهینه برای انجام این کار مشخص شد، تا گام نخستی برای پیشرفت‌های آینده در زمینه ساخت نانوزیست‌تراسه‌ها و سامانه‌های نانوالکترومکانیکی برای تشخیص و بعض‌آ درمان در زمینه پزشکی باشد. آزمایش‌ها نشان داد که لیتوگرافی با میکروسکوپ STM با تکرار پذیری بسیار خوبی انجام می‌شود، به کمک میکروسکوپ STM، ابتدا نانوساختارهایی به شکل نقاط برآمده بر سطح ایجاد شد.

¹ DOI: 10.22051/ijap.2021.30175.1147

² استادیار، پژوهشکده فناوری‌ها و تجهیزات پیشرفته پزشکی، مرکز تحقیقات علوم و تکنولوژی در پزشکی، دانشگاه علوم پزشکی تهران، تهران، ایران. (نویسنده مسئول). Email: rsaber@sina.tums.ac.ir

³ کارشناسی ارشد فوتونیک، پژوهشکده فناوری‌ها و تجهیزات پیشرفته پزشکی، مرکز تحقیقات علوم و تکنولوژی در پزشکی، دانشگاه علوم پزشکی تهران، تهران، ایران. Email: Karimi.mansoreh1@gmail.com

⁴ کارشناسی ارشد مهندسی برق الکترونیک، پژوهشکده فناوری‌ها و تجهیزات پیشرفته پزشکی، مرکز تحقیقات علوم و تکنولوژی در پزشکی، دانشگاه علوم پزشکی تهران، تهران، ایران. Email: irajbaratlou@gmail.com

⁵ کارشناسی ارشد نانوفناوری پزشکی، دانشکده فناوری‌های نوین پزشکی، گروه نانوفناوری پزشکی، دانشگاه علوم پزشکی تهران، تهران، ایران. Email: abedinimitra@yahoo.com

نانوساختارها بر سطوح طلا به وسیله نوک‌های تنگستن، طلا، پلاتین پالادیوم و رمانیم ایجاد شد و هدایت الکتریکی طلا با مقاومت الکتریکی $10^{-9} \Omega / 22 \mu m^2$ در روند ساخت نانوساختارها نتایج بهتری را نشان داد. مشخص شد که ولتاژ استفاده شده در لیتوگرافی در ایجاد نانوساختار تأثیرگذار است، همچنین این عامل در اندازه نانوساختارها نیز مؤثر است به طوری که با افزایش ولتاژ اندازه نانوساختارها نیز بزرگ می‌شود. به علاوه، سرعت حرکت نوک در حین انجام لیتوگرافی عامل مؤثر دیگری است که در اندازه نانوساختار و پیوستگی آن تأثیرگذار است. زمان بین تپ‌های متوالی نیز در مرتب بودن نانوساختارها و پیوستگی آن‌ها مؤثر است و باید بر حسب شرایط و هدف لیتوگرافی مقدار آن مشخص شود. اندازه نانوساختارهای ایجاد شده در این مطالعه بین ۲۰ تا ۱۵۰ نانومتر بود. انجام فرایند لیتوگرافی به صورت کاملاً تکرارپذیر تا حداقل ولتاژ ۳ ولت و حداکثر سرعت ۱۵۰ نانومتر در ثانیه بر سطح طلا صورت گرفت. شکل هندسی نوک، رطوبت و دما نیز احتمالاً جزء عامل‌های تأثیرگذارند که بررسی تأثیر این پارامترها مستلزم مطالعات بیشتر است.

واژگان کلیدی: لیتوگرافی، STM، نوک، نانوساختار، سرعت حرکت.

۱. مقدمه

فناوری تولید نانوساختارها از جمله پژوهش‌های مهم در سال‌های اخیر بوده است. تلاش‌های بی‌شماری برای بهبود این فناوری انجام شده است. در این میان فوتولیتوگرافی و به دنبال آن سونش یونی^۱ از پرکاربردترین تکنیک‌ها هستند و در پیشرفت یکپارچگی در مقیاس بزرگ (LSI) و سامانه‌های میکروالکترومکانیکی (MEMS) سهم به سزایی داشته‌اند. به نظر می‌رسد فوتولیتوگرافی به منظور تولید ریزساختارها و نانوساختارها در حجم انبوه مناسب باشد زیرا یک فرایند ساخت با توان عالی است. فرایند ساخت (LIGA) (لیتوگرافی، آب‌کاری، قالب‌دهی) را می‌توان برای ساخت ساختارهای انبوه استفاده کرد. با این همه، این کار مستلزم استفاده از ابزارهای پیچیده‌ای است که در عین حال وقت‌گیر هم هستند. چندین تلاش موفق در لیتوگرافی با استفاده از میکروسکوپ پربوی روبشی (SPM)، باریکه الکترونی (EB) و باریکه یونی متمنکز (FIB) به منظور ساخت و تبدیل ساختارهای میکروسکوپی به نانو مقیاس انجام شده است. لیتوگرافی میکروسکوپ پربوی روبشی (SPM) به دلیل سادگی و دقت و هزینه کم، روشی کاربردی است [۳-۱].

^۱ Ion etching

تکنیک‌های میکروسکوپ پرتویی روبشی (SPM) در سال‌های اخیر به طور گستردۀ به کار گرفته شده است، تا اتم‌ها و خوش‌ها بر سطوح نشانده شود و ساخت سازه‌ها در مقیاس نانومتر انجام شود. نانوساختارهای ناشی از SPM بر روی فلزات و نیمرساناهای مواد آلی ساخته شده‌اند. بنابراین، راهبردهای ساخت برای تأمین گرینه‌هایی از نظر فنی ممکن و مقرر به صرفه مورد نیاز است. در حال حاضر، میکروسکوپ پرتویی روبشی فناوری مبتنی بر SPM به دلیل کم‌هزینه بودن و قابلیت فنی عالی، در ساخت سازه‌های نانومقیاس به طور روزافزون رایج شده است [۴].

نانولیتوگرافی با استفاده از میکروسکوپ تونل زنی روبشی (STM) و میکروسکوپ نیروی اتمی (AFM) را می‌توان در سامانه‌هایی که روش‌های پرتو X و پرتوهای الکترونیکی سنتی به حد اکثر توان نظری و کاربردی خود رسیده‌اند، استفاده کرد. روش‌های دست‌کاری اتمی و ملکولی می‌توانند شامل حذف یا رسوب اتم‌های یک ساختار بر یک سطح دیگر باشد. ساخت نانوساختار در مقیاس بزرگ‌تر ممکن است شامل انتقال مواد و اصلاح سطح صدّها اتم از طریق فرایند‌هایی مانند تبخیر عمومی و دفع تحریک الکترونیک باشد.

رویکردهایی با استفاده از سازوکار STM برای نانوذرات بررسی و آزمایش شده است. یکی از این رویکردها، خراش مکانیکی زیرلایه یا فیلم دارای استحکام است، اما روش تنظیم پذیری نیست. با توجه به قرار گیری رأس بسیار تیز نوک که بعضاً به یک اتم نیز می‌رسد و با توجه به آنکه در فاصله‌ای بسیار کم در حد یک الی چهار اتم کربن از سطح قرار می‌گیرد، میدان الکتریکی نسبتاً بزرگی در این حد فاصل ایجاد می‌شود (هر چند که مقدار ولتاژ اعمالی در حد یکی دو ولت در حین فرایند لیتوگرافی بیشتر نیست) که این میدان می‌تواند باعث تبخیر یا ذوب شدن ملکول‌ها و اتم‌ها شود و از این روش برای ساخت سازه‌های کوچک استفاده کرد. همچنین، بمباران‌های الکترون‌های کم انرژی می‌توانند سبب ایجاد الگوهای نانویی توسط واکنش‌های شیمیایی شود. اکسایش ناشی از میدان در زیر نوک STM (یا AFM رسانا) در شرایط محیط، روش امیدوارکننده‌ای برای الگوبرداری از بسترهای فلزی و نیمرساناست؛ از این روش برای ساخت دستگاه‌های مختلف در مقیاس نانومتر استفاده کرده‌اند.

نانوساختار ناشی از STM متعاقباً برای انتقال الگو در یک فرایند لیتوگرافی منظم از جمله سونش یونی (خوردگی یونی) واکنش‌پذیر به کار می‌رود. مواد مستحکم مانند پلی متیل متاکریلات (PMMA)، فیلم‌های لانگمویر بلودجت LMS، تکلایه‌های خودمونتاژ شده استفاده شده است. سامانه‌های تکلایه اتمی جذب شده مانند سیلیکون هیدروژنه به طور فزاینده‌ای به عنوان مواد مستحکم نازک بی‌نقص برای لیتوگرافی مبتنی بر STM استفاده شده‌اند. فیلم‌های مستحکم به دلیل عمق نفوذ بسیار کم الکترون‌های کم انرژی در مواد جامد باید بسیار نازک باشد [۵].

امروزه، یکی از پرکاربردترین ابزارهای میکرو، مدارهای مجتمع هستند. روش میکرولیتوگرافی حیاتی ترین فرایند در ساخت مدارهای مجتمع در صنایع نیمساناست. فرایند لیتوگرافی برای چاپ الگوهای مداری IC بر روی پوشش انتقال دهنده فتورزیست روی ویفر استفاده می شود. روش لیتوگرافی به دلیل وضوح آن در تعیین کوچکی اندازه آشکال و زمان در معرض قرارگرفتن مؤثر بر بازده، حیاتی است [۶].

اولین بار ریچارد فایمن در ۱۹۵۹، طی سخنرانی خود با بیان امکان به راه اندازی فرایندی برای دستکاری اتم ها و ملکول ها با استفاده از ابزارهای دقیق باعث شد تا پژوهشگران به سمت توسعه چنین ابزارها و فرایندهایی متمایل شوند [۷]. در ۱۹۷۴، نوریو تانیگوچی^۱، مدرس دانشگاه علوم توكیو، نخستین بار واژه "فناوری نانو" را به کار گرفت. او در مقاله ای با نام "مفهوم اساسی فناوری نانو" اشاره می کند که این فناوری اساساً مجموعه ای از فرایندهای تفکیک و ادغام و تشکیل مواد در حد یک اتم یا یک ملکول است [۸]. در دهه ۱۹۸۰، این تعریف به طور وسیع تر توسط درکسلر (نویسنده کتاب موتور خلقت) بررسی شد [۹، ۱۰]. فناوری نانو و علوم نانو در اوایل دهه ۱۹۸۰ و اختراع میکروسکوپ تونل زنی پیمایشی آغاز به کار کرد. این پیشرفت سبب کشف فلورین در ۱۹۸۶ و نانولوله های کربنی در چند سال بعد شد [۱۱].

STM که در ۱۹۸۱ توسط بینیگ^۲ و همکاران معروفی شد، اولین میکروسکوپ پرتویی در نوع تصویربرداری خود با وضوح جانبی و عمودی در حد انگستروم بود. یک ولتاژ کم در حد چند میلی ولت و بعضی کمتر بین یک نوک فلزی بسیار تیز و سطح نمونه اعمال می شود. هنگامی که رأس این نوک نزدیک به سطح نمونه برسد، الکترون می تواند بین دو الکترود تونل بزند. جریان تونل زنی نسبت به فاصله از سطح نمونه متغیر است. لذا، با استفاده از همین فاصله یا فضایی در حدود یک الی یک و نیم نانومتر از سطح نمونه که به آن گاف نیز گفته می شود و نیز سعی در ثابت نگاه داشتن فاصله از سطح نمونه می توان تغییرات توپوگرافی یا همان پستی و بلندی های سطح را با استفاده از یک نرم افزار که برای همین سیستم ها طراحی شده است ترسیم کرد و یک تصویر دو یا سه بعدی به دست آورد. محدودیت اصلی STM آن است که تنها می توان از آن برای تصویربرداری از نمونه های رسانا استفاده کرد و این محدودیت حوزه کار با دستگاه را کم می کند، در حالی که با توجه به سازو کار دستگاه و ارتباط آن با الکترون ها حساسیت دستگاه و دقیقیت آن بسیار فوق العاده است [۱۱].

¹ Norio Taniguchi

² G. Binnig

امکان دستکاری سطح مواد در مقیاس نانومتر بر سطح نمونه توسط پروب‌های تصویربرداری برای اولین بار در ۱۹۸۷ توسط بکر و همکاران نشان داده شد. از آن زمان تاکنون تلاش زیادی در این زمینه انجام گرفته است و به عنوان لیتوگرافی پروب تصویربرداری (SPL) نامگذاری شده است. استافر^۱ و همکاران بر روی $\text{Rh}_{25}\text{Zr}_{75}$ با استفاده از STM لیتوگرافی کردند [۱۲]. در ادامه فعالیت‌های صورت گرفته در این زمینه، خطوط اکسید کروم (Cr_2O_3) بر روی ویفر سیلیکون لیتوگرافی شد [۱۳]. از STML در شرایطی خاص و برنامه‌ریزی شده می‌توان جهت اصلاح مواد فلزی و سرامیکی استفاده کرد. داگاتا^۲ و همکاران از STM برای القای اکسیايش موضعی بر روی ویفر سیلیکون استفاده کردند [۱۴]. در حال حاضر، فناوری مبتنی بر SPL در ایجاد ساختارهای نانومقیاس بر روی انواع مختلفی از مواد توجه زیادی را به خود جلب کرده است، در حالی که روش‌های لیتوگرافی معمولی محدودیت‌های اساسی در کوچک‌سازی ابعاد دارند. به ویژه در کوچک‌سازی میکروالکترونیک، SPL امکانات امیدوارکننده‌ای در ساخت دستگاه‌های نانو و توسعه الگوهای مهندسی شده برای رشد فیلم‌های نازک برآرستی ارائه کرده است. بسیاری از سطوح مواد مانند سیلیکون و گرافیت و $\text{YBa}_2\text{Cu}_3\text{O}_{7-\delta}$ توسط SPL اصلاح شده‌اند. با تحقیقات انجام شده مشخص شد که ایجاد نانوساختارها به شدت تحت تأثیر ولتاژ اعمالی، جریان تونل زنی، سرعت روبش و شرایط محیط قرار دارد. سازوکار لیتوگرافی بسته به شرایط آزمایشی متفاوت است و هنوز محل بحث است [۱۵].

در تحقیقاتی، نانولیتوگرافی STM بر سطوح فیلم نازک SRO انجام شده است. در این بررسی، عمق خط با افزایش ولتاژ اعمالی افزایش می‌یابد، اما با افزایش جریان تونل زنی به طرز چشمگیری تغییر نمی‌کند. وابستگی عرض به جهت گیری ولتاژ با نظری مبتنی بر تبخیر ناشی از میدان مطابقت دارد. در این میان، تبخیر ناشی از میدان به طور گستره‌ای به عنوان یک روش مهم یا در برخی موارد غالب در زمینه آزمایش لیتوگرافی پذیرفته می‌شود [۱۶].

در این مطالعه، نانولیتوگرافی فناوری میکروسکوپ تونل زنی STM ارائه و اصول و رویکردهای فناوری و پارامترهای اعمالی حین کار با این ابزار به صورت عملی انجام شد و نتایج آن در ادامه نشان داده شده است.

۲. لیتوگرافی میکروسکوپ تونلی روبشی

اخیراً، گرایش به ساختارهای مفید طراحی شده در مقیاس نانومتر در علم و فناوری به سرعت افزایش یافته است و این فناوری‌ها برای ساخت نانوساختارها ویژه و پراهمیت هستند. الگوبرداری

^۱ Staufer

^۲ Dagata

از مواد در این مقیاس با اهمیت زیادی در لیتوگرافی آینده به منظور دستیابی به تراکم ادغام بالاتر برای دستگاههای نیمرسانا صورت می‌گیرد.

ظهور علم و فناوری نانو بستگی به توانایی قرارگیری و دستکاری و ساخت انواع سازه‌ها و مواد و دستگاه‌ها با دقتی در مقیاس نانومتر دارد. روش‌های لیتوگرافی معمولی، مربوط به لیتوگرافی باریکه نوری و الکترونی با توجه به مقرنون به صرفه نبودن یا نامناسب بودن آن‌ها برای کنترل انواع زیادی از سامانه‌های آلی و بیولوژیکی موجود در فناوری نانو است. نیروهای محرک مختلف برای توسعه روش‌های جایگزین تولید نانوساختارها در نظر گرفته شده‌اند. این روش‌ها تقریباً در ۱۹۹۰ ایجاد شده‌اند و سپس آن‌ها به ایجاد سه روش اصلی نانولیتوگرافی انجامیده‌اند:

- ۱) لیتوگرافی نانو؛
- ۲) لیتوگرافی نرم؛
- ۳) لیتوگرافی بر پایه پروپی روبشی؛

از تکنیک‌های SPM می‌توان در تصویربرداری و اندازه‌گیری سطوح استفاده کرد. علاوه بر این، ممکن است از آن‌ها برای اصلاح سطوح نمونه استفاده کرد. SPM‌ها، به ویژه میکروسکوپ‌های نیروی اتمی، به دلیل توانایی تصویربرداری در ابعاد زیر ۱۰ نانومتر، وسیله‌ای عالی در فناوری نانو هستند. طیف گسترده‌ای از سطح اعم از ملکول‌های زیستی تا مدارهای مجتمع نیز به عنوان ابزارهای نانو لیتوگرافی قابلیت خوبی نشان داده‌اند. الگوی کنترل شده‌ای از ویژگی‌های مقیاس نانومتر با SPM با عنوان Scan Probe Lithography (SPL) شناخته شده است. تکنیک‌های SPM که برای ساخت شیار بر سطوح استفاده می‌شود عبارت است از: میکروسکوپ تونل زنی (STM) و میکروسکوپ نیروی اتمی (AFM). [۴]

اولین SPM اختراع شده STM در ۱۹۸۱ توسط بینیگ و همکاران بود. همانطور که در شکل ۱ نشان داده‌ایم، در STM از یک نوک رسانای تیز با ولتاژ اعمالی بین نوک و نمونه هدف استفاده می‌شود. هنگامی که نوک در محدوده اتمی نمونه قرار دارد یعنی در فاصله و گاف یک الی یک و نیم نانومتری، بسته به علامت ولتاژ اعمالی، الکترون‌های موجود در نمونه از خود نمونه تا نوک نوک یا بر عکس شروع به تونل زنی می‌کنند. افزایش یا کاهش مقدار جریان تونلی تماماً به صورت نمایی است، به طوری که هر انگستروم نزدیکی به نمونه سبب افزایش سه الی ده برابری جریان تونلی بین نمونه و نوک می‌شود. کار کرد یا مدهای کار کردی STM دو حالت عملکرد دارد، که از آن‌ها به عنوان حالت‌های جریان ثابت و ارتفاع ثابت یاد می‌کنیم. در حالت ارتفاع ثابت، رأس نوک در یک صفحه افقی بالاتر از نمونه در حالی که مدار بازخورد تقریباً در حالت

خاموش قرار دارد حرکت می‌کند. در این حالت جریان تونل زنی ناشی از انتقال الکترون، که به توپوگرافی و خصوصیات الکترونیکی سطح محلی بستگی دارد، تصویر STM را تشکیل می‌دهد. این حالت بیشتر در تصویربرداری از سطوح بسیار صاف که پستی و بلندی اتمی دارند استفاده می‌شود. در حالت جریان ثابت، ارتفاع نوک توسط سیگنال‌های مدار بازخورد تنظیم می‌شود تا جریان تونل زنی را در حین روبش ثابت نگه دارند و تغییر ارتفاع نوک نشان‌دهنده تصویر است. در STM، سیستم در حالت جریان ثابت قرار دارد و سپس زمانی که نوک در جا و محل مناسب قرار گرفت بارها و بارها ولتاژ‌های مناسب برای آن نقطه خاص مد نظر اعمال می‌شود و سپس در جاهای دیگر به نوک همان ولتاژ جریان ثابت اعمال می‌شود [۱۵].

دو مؤلفه اساسی فناوری لیتوگرافی با استفاده از STM توانایی در تصویربرداری از طرح‌واره سطح و اصلاح یک سطح یا لایه نازک برای الگوبرداری است. نتایج این پژوهش مربوط به لیتوگرافی با استفاده از تصویربرداری STM و روند فرایند لیتوگرافی در STM است [۴]. لیتوگرافی غیر تماسی مبتنی بر STM قبلاً در حالت انتشار مستقیم مطالعه شده است و عموماً در خلاهای فوق العاده شدید (UHV) برای حفظ جریان انتشار پایدار انجام می‌شود [۱۶–۱۹]. اکسایش موضعی سیلیکون نیز با استفاده از AFM در حالت بدون تماس و براساس شبکه انجام شده است [۲۰]. عملکرد در UHV ممکن است دشوار و وقت‌گیر باشد. الگوی STM همچنین از توانایی هم‌ترازی ضعیف برخوردار است، زیرا تصویربرداری می‌تواند مقاومت را تحت تأثیر قرار دهد. وايلدر^۱ و همکاران [۲۱]، که بخشی از گروه Quate هستند، یک روش جایگزین لیتوگرافی غیر تماسی بر اساس عملکرد AFM در هوا معرفی کردند. آن‌ها در یافتن که با استفاده از یک مدار بازخورد جریان فعال با بازده مطلوب، می‌توانند انتشار پایداری از الکترون‌ها از نوک AFM را حفظ کنند، که بعداً به عنوان سیگنال بازخورد برای تنظیم فاصله نوک به نمونه استفاده شد. دستگاه AFM با موقعیت‌یابی عمودی به علت دقت بسیار عالی پیزووهای به کاررفته در راستای عمودی یا Z و تنظیم دقیق جریان ثابت از نوک برای به دست آوردن ساختارهایی به اندازه‌های زیر ۳۰ نانومتر و با قطر ۶۵ نانومتر استفاده شده است [۴].

با در نظر گرفتن مزیتی همچون دقت فوق العاده و دیگر خصوصیات منحصر به فرد شامل قیمت ارزان و عملکرد نسبتاً ساده فناوری‌های نانوساختار براساس SPM به روش‌های گوناگون از نظری تا تجاری شدن توسعه یافته‌اند. در نتیجه، لیتوگرافی SPM یا SPML فرصت بی‌نظیری برای نوآوری فراهم می‌کند و به عنوان ابزاری منحصر به فرد برای نانوساختار مطرح شده است.

^۱ Wilder

حساسیت‌های فضایی بزرگ و فوق العاده جریان تونلی، مزایای اساسی استفاده از STM را برای نانوساختار نشان می‌دهد. در حقیقت جریان تونلی را می‌توانیم به عنوان یک باریکه الکترونی بسیار کوچک برای رسیدن به عملکردهای نوشتن کاملاً مستقیم در مقیاس‌های کوچک در نظر بگیریم، که به طور معمول به وسیله لیتوگرافی باریکه الکترونی (EBL) انجام می‌شود. STM نسبت به EBL چندین مزیت دارد. جریان‌های تونلی STM حدود ۳ برابر بیشتر هستند که عملکرد STM را برای در معرض قرار دادن لایه محافظه با وضوح مطلوب ساده‌تر می‌سازد. زیرا رزیست با وضوح مطلوب به طور طبیعی حساسیت کمتری دارد. ولتاژ‌های به کاررفته در STM به طور معمول ۴ برابر کمتر از EBL هستند [۲۰].

۳. عملکرد STM

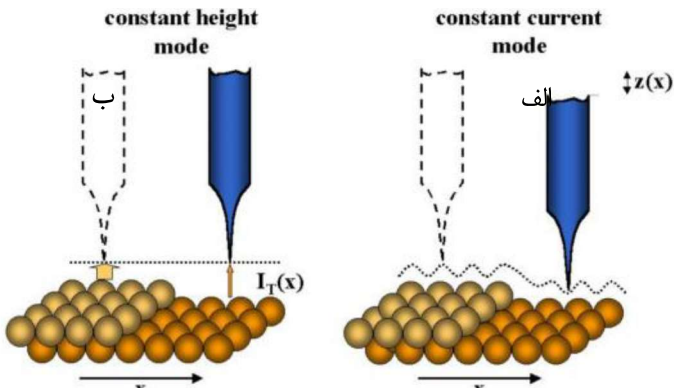
میکروسکوپ‌های تونل زنی روبشی STM پیماشگری است که برای مطالعه ویژگی‌های سطحی مواد از ابعاد میکرون تا کمتر از ابعاد اتمی استفاده می‌شود. میکروسکوپ‌ها قادرند ویژگی‌های فیزیکی سطح مانند هدایت الکتریکی سطحی، توزیع بار الکتریکی ساکن، کشش سطحی نقطه‌ای، میدان مغناطیسی و ماژول کشسانی را اندازه‌گیری کنند.

پروب STM یک سوزن فلزی تیز نانومقیاس و اغلب با مقیاس اتمی است. وقتی نوک در نزدیکی سطح و معمولاً در یک الی یک و نیم نانومتری از سطح قرار دارد با اعمال ولتاژ، جریان تونلی بین نوک و سطح جاری می‌شود. در یک ولتاژ پیش‌ولت کوچک (V) یا همان اعمالی جریان تونلی (I) به وسیله فرمول زیر تخمین زده می‌شود،

$$I \propto V e^{d^{-\sqrt{8m\Phi}}/h} \quad (1)$$

در این معادله d فاصله بین نوک STM و نمونه و Φ تابع کار نوک است [۲۲].

برای یک تابع کار معمول $4eV$ ، جریان تونلی به ازای افزایش فضا یا گاف بین نوک و نمونه، به اندازه ۱ انگستروم حدوداً به اندازه ۳ الی ۱۰ برابر کاهش می‌یابد. به همین دلیل، جریان تونلی به طور معمول کاملاً در انتهای نوک که اغلب یک اتم است محصور می‌شود که تزریق جریان تنها به یک ناحیه با مقیاس نانومتر را امکان‌پذیر می‌سازد. همچنین تغییر جریان تغییرات فاصله گاف یا فضا را نشان می‌دهد. در STM با مد تصویربرداری ارتفاع ثابت به منظور حفظ فاصله شکاف یا همان گاف ثابت، سیگنال جریان تونلی به وسیله مدار بازخورد بین نوک و سطح پایش می‌شود. در شکل ۱، مدهای تصویربرداری جریان ثابت و ارتفاع ثابت نمایش داده شده است.



شکل ۱ مد جریان ثابت (الف) و مد ارتفاع ثابت (ب) در میکروسکوپ STM.

در مدل لیتوگرافی در این میکروسکوپ با این مفهوم که، هنگامی که فاصله نوک نمونه به چندین انگستروم از سطح کاهش می‌یابد، میدان الکتریکی اعمالی به اندازه کافی برای شکستن پیوند اتمی و یونیزه کردن اتم‌ها قوی می‌شود و از سطح نمونه یا نوک ذوب یا تبخیر می‌شود. تبخیر ناشی از میدان القایی فرایندی فعال شده با گرما است و میزان تبخیر توسط رابطه (۲) تعریف می‌شود، که در این معادله Q انرژی فعال‌سازی و v ضریب بسامد (حدود 10^{13} هرتز) است. نظریه تبخیر میدانی، بسیاری از پدیده‌های کشف شده در آزمایش‌های SPL مانند ولتاژ پیش‌ولت آستانه و برگشت‌پذیری انتقال مواد را با موقوفیت توضیح می‌دهد [۱۱]،

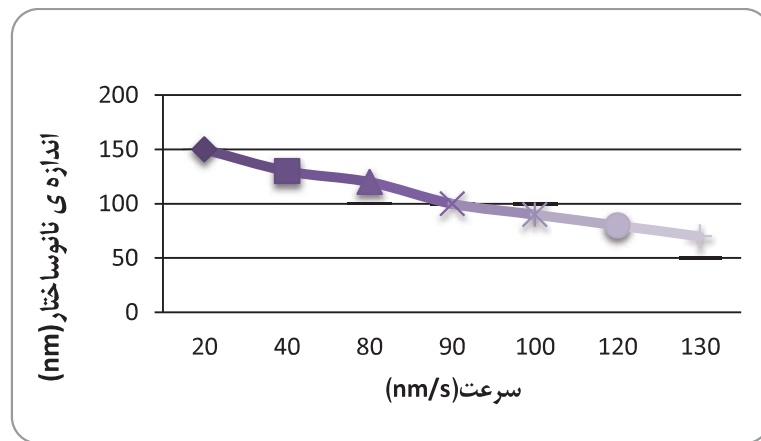
$$\kappa = v \exp(-Q/kT) \quad (2)$$

در مطالعه‌ما، لیتوگرافی میکروسکوپ تونلی روبشی (STM) را بر سطوحی از جنس طلا و تحت شرایط محیط با شرایط ولتاژ مختلف با دستگاه NAMA-STM ساخت شرکت نانوسیستم پارس ایران انجام داده‌ایم.

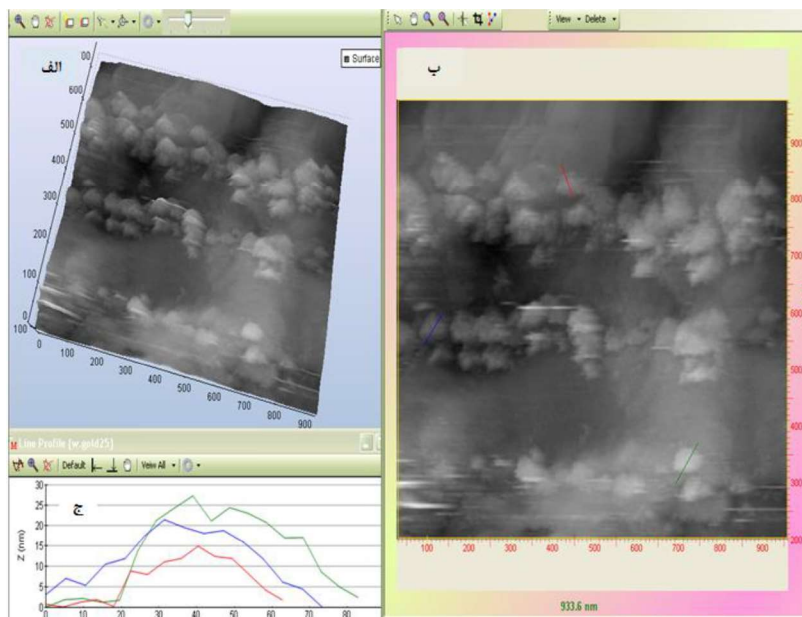
۴. نتایج

عوامل بسیاری از جمله نوع نوک، ولتاژ اعمالی در هنگام لیتوگرافی، سرعت حرکت نوک در فاصله حدود یک نانومتر بر سطح و فاصله زمانی تپ‌ها در هنگام لیتوگرافی در ایجاد و کیفیت نانوساختارها تأثیر دارد. افزایش ولتاژ با افزایش اندازه نانوساختارهای ایجاد کننده هر الگو همراه است. با کاهش سرعت، اندازه نانوساختارهای نقطه‌ای افزایش و پیوستگی نانوساختارها بیشتر می‌شود. علت این پدیده به فرصت لازم جهت انجام لیتوگرافی بر می‌گردد که با کاهش سرعت زمان لازم جهت لیتوگرافی و ایجاد نانوساختارها فراهم می‌آید. در شکل ۲، نمودار ارتباط اندازه نانوساختار با افزایش سرعت و در شکل ۳ تصاویر سطوح در سرعت‌های مختلف نمایش داده شده است.

۲۶ / مطالعه و بررسی کمی و کیفی پارامترهای مؤثر در انجام لیتوگرافی سطح با میکروسکوپ تونلی روبشی



شکل ۲ نمودار ارتباط اندازه نانوساختار با افزایش سرعت.



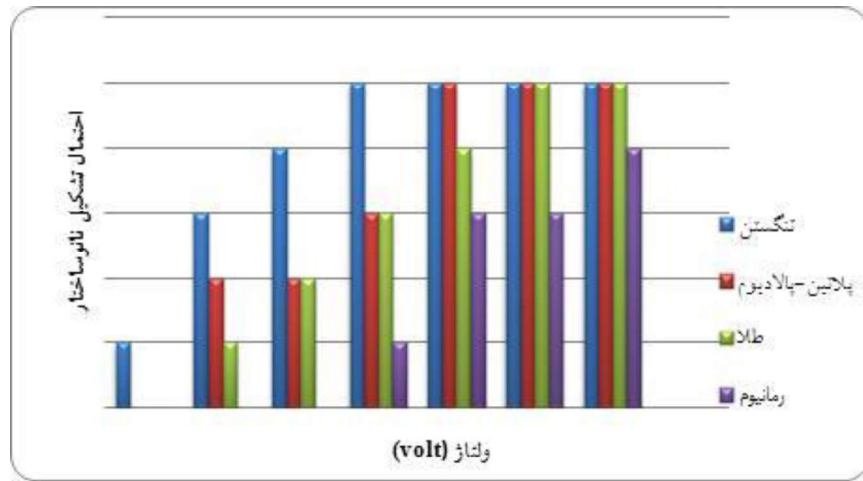
شکل ۳ تصویر (الف) تصویر سه بعدی سطح نشان دهنده ایجاد نانوساختارهای خطی با سه سرعت مختلف (الف) از بالا به پایین ۲۰ نانومتر در ثانیه، ۴۰ نانومتر در ثانیه، ۸۰ نانومتر در ثانیه. تصویر (ب) همان سطح به صورت نمایش دو بعدی و تصویر (ج) نمودار اندازه نانوساختارهای ایجاد شده.

در این مطالعه، عواملی چون جریان اعمالی در ایجاد نانوساختارها و تغییر اندازه آنها تأثیر چندانی نداشت. البته رابطه بین جریان و ولتاژ اعمالی به هم وابسته بوده و این عامل جریان در ولتاژ

لحوظ شده و ولتاژ به نحوی این پارامتر را پوشش داده است. پارامتر نوع نوک در هنگام لیتوگرافی از جمله پارامترهای تأثیرگذار بوده که در ادامه به طور مفصل تشریح شده است.

امکان ایجاد نانوساختار به وسیله نوک‌های مختلف تنگستن، پلاتین-پالادیوم، رمانیم و طلا در ولتاژهای مختلف بر سطح طلا بررسی شد. نتایج ایجاد نانوساختارها با ولتاژهای مختلف در نمودار زیر نمایش داده شده است. از بررسی نتایج این آزمایش‌ها در می‌باییم که احتمال ایجاد نانوساختار به وسیله نوک طلا با افزایش ولتاژ به صورت خطی افزایش می‌باید و ایجاد نانوساختار به وسیله این نوک از ۴ ولت به بالا امکان‌پذیر است. نوک پلاتین-پالادیوم نتایج مشابهی با طلا نشان می‌دهد اما رابطه ایجاد نانوساختار به وسیله نوک طلا با ولتاژ، خطی‌تر از این رابطه درباره نوک پلاتین-پالادیوم است. نوک تنگستن از ولتاژ ۳ تا ۱۰ ولت را پوشش می‌دهد. البته ایجاد نانوساختار با نوک تنگستن نیز همچون سایر نوک‌ها در ولتاژ کمتر از ۴ ولت با مشکل مواجه می‌شود که با تغییر پارامتر سرعت ایجاد نانوساختار در ولتاژ کمتر از ۴ ولت با نوک تنگستن امکان‌پذیر می‌شود، در حالی که در سایر موارد (نوک‌های طلا، پلاتین-پالادیوم، رمانیوم) این گونه نیست. نوک رمانیم نسبت به سایر نوک‌ها نتایج خوبی نشان نمی‌دهد. با استفاده از این نوک در ولتاژهای کمتر از ۶ ولت ممکن است ایجاد نانوساختار نشاید و در ولتاژ ۶ ولت نیز احتمال ایجاد نانوساختار پایین و حدود ۲۰٪ است و حتی در ولتاژهای بالا نیز احتمال ایجاد نانوساختار به وسیله این نوک از ۸۰٪ تجاوز نمی‌کند.

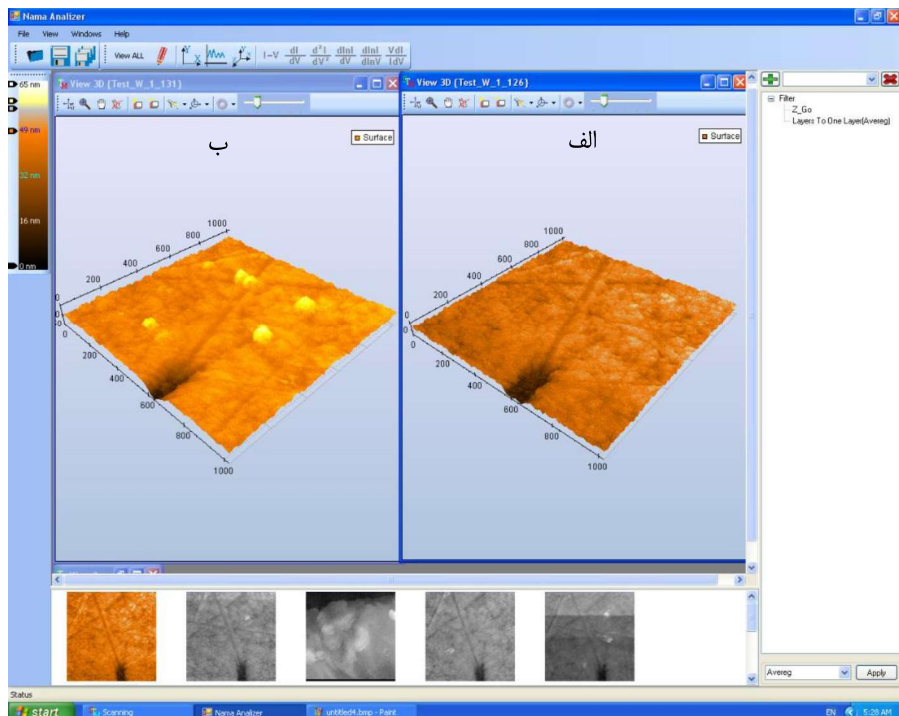
شاید بتوان نتایج این آزمایش‌ها را با توجه به مقاومت الکتریکی هر یک از این فلزات بررسی کرد. مقاومت الکتریکی تنگستن $10^{-9} \times 10^{-9}$ ، طلا $10^{-9} \times 10^{-9}$ ، پلاتین-پالادیوم $10^{-9} \times 10^{-9}$ و رمانیوم $10^{-9} \times 10^{-9}$ است (مقاومت‌های الکتریکی بر حسب اهم و در دمای ۲۰ درجه سلسیوس هستند). بر طبق این مقاومت‌های الکتریکی می‌توان نتیجه گرفت که هدایت الکتریکی طلا بهتر از تنگستن، تنگستن بهتر از پلاتین-پالادیوم و همگی بهتر از رمانیم هستند. پس باید نوک طلا نتایج بهتری نسبت به نوک‌های دیگر نشان دهد و نتایج این آزمایش‌ها مطابق با شکل (۴) تا حدودی با میزان هدایت الکتریکی این فلزات هم خوانی دارد، اما تفاوت‌های کوچکی نیز وجود دارد که برای بررسی این تفاوت‌ها بر آن شدیدم تا علاوه بر بررسی احتمال ایجاد نانوساختارها به وسیله هریک از این نوک‌ها میزان مرتب بودن نانوساختارهای ایجادشده و پیوستگی آن‌ها و پیروی از الگوی داده شده برای ایجاد نانوساختارها به وسیله هر یک از نوک‌ها نیز بررسی شود تا به نتیجه گیری دقیق‌تری دست باییم.



شکل ۴ نمودار نتایج کلی آزمایش‌های مربوط به اثر نوک.

در مرحله قبل، برای بررسی ایجاد نانوساختار تنها ایجاد یک ساختار نقطه‌ای برای ما کافی بود و گاهی هیچ الگوی خطی یا پیچیده‌ای برای ایجاد نانوساختار در نظر گرفته نمی‌شد. در مرحله بررسی پیوستگی و مرتب بودن نانوساختارها از الگوهای خطی و پیچیده‌تری استفاده شد. نتایج نشان داد که نوک تنگستن ساختارهای مرتب‌تری ایجاد می‌کند و با درصد بالایی، از الگوی ایجادشده پیروی می‌کند. بعد از نوک تنگستن که بهترین نوک در ایجاد ساختارهای مرتب بود، نوک‌های رمانیم، پلاتین-پالادیوم و طلا در رتبه‌های بعدی قرار می‌گیرد. این نتایج را می‌توان به میزان محکم بودن و سختی این فلزات نسبت داد. نوک تنگستن نسبت به بقیه فلزات جنس سخت‌تری دارد و سخت بودن نوک موجب می‌شود که میزان ارتعاشات احتمالی نوک حين روش و ولتاژدهی هنگام لیتوگرافی به کمترین میزان برسد، در حالی که نوک طلا به علت نرمی، در حين جایگذاری نوک در قسمت نگهدارنده نوک در پیزو نیز ممکن است دچار انحراف از زاویه ۹۰ درجه با سطح شود و به این ترتیب ولتاژ را به خوبی در نقاط تعیین شده در الگو اعمال نکند و به این ترتیب ساختارها از نظم و ترتیب کافی برخوردار نشوند. علت دیگری که برای این پدیده به نظر می‌آید روش تهیه این نوک‌هاست. نوک تنگستن به روش الکتروشیمیایی و سه نوک دیگر به روش مکانیکی تهیه می‌شود. هر چند تهیه نوک با رأس اتمی با روش مکانیکی نیز امکان‌پذیر است، اما کار ساده‌ای نیست و نیاز به مهارت دارد. به این ترتیب احتمال داشتن نوکی با رأس اتمی و یکنواخت‌تر به لحاظ شکل هندسی سطح از جنس تنگستن بیشتر از داشتن نوکی با رأس اتمی از سایر سیم‌های فلزی است و این خود می‌تواند دلیلی برای مرتب شدن نانوساختارهای

ایجادشده و بیشتر بودن احتمال ایجاد نانوساختار به وسیله نوک تنگستن در ولتاژهای ۳ تا ۱۰ ولت باشد. در شکل ۵، نمونه‌ای از لیتوگرافی بر سطح طلا نمایش داده شده است. این نتایج با کارهای انجام گرفته در سال ۲۰۰۳ هم خوانی دارد [۵].



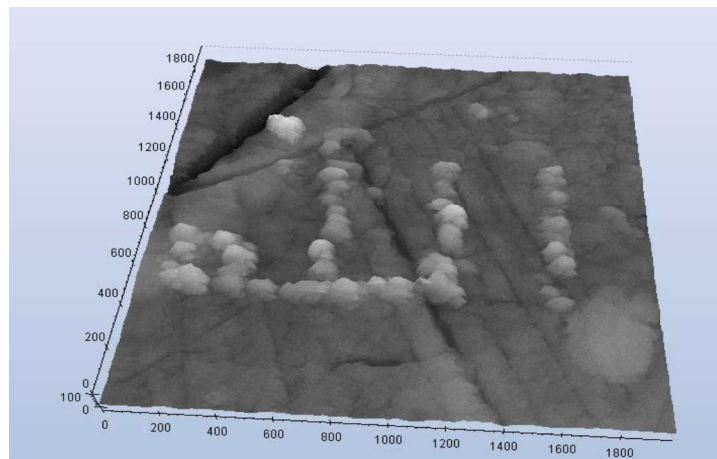
شکل ۵ انجام لیتوگرافی به وسیله نوک تنگستن، تصویر (الف) سطح طلا را پیش از لیتوگرافی و تصویر (ب) سطح طلا پس از لیتوگرافی. پارامترهای لیتوگرافی شامل ولتاژ ۶ ولت، مدت زمان هر تپ ۶،۰ میلی ثانیه و فاصله بین تپها ۱۰۰۰ میلی ثانیه.

در شکل ۵ (الف)، سطح پیش از لیتوگرافی و در شکل ۵ (ب)، نانوساختار ایجادشده به وسیله نوک تنگستن در ولتاژ ۶ ولت مشاهده می‌شود. برای ایجاد این نانوساختارها الگوی خاصی در نظر گرفته نشد و تنها سعی شده در نقاط خاصی از سطح با اعمال ولتاژ، نانوساختار ایجاد شود. در این شیوه ایجاد نانوساختار، سرعت در هین انجام لیتوگرافی جزء پارامترهای مؤثر نیست زیرا نوک بر سطح حرکت نمی‌کند و تنها از طریق نشانگر نوک در بالای صفحه نرمافزار رویش نوک در نقطه خاصی بالای سطح قرار می‌گیرد. فاصله تپ‌ها برای تنظیم اینکه یک تک تپ در یک نقطه اعمال شود بلند در نظر گرفته می‌شوند. مثلاً، در این آزمایش فاصله تپ‌ها ۱۰۰۰ میلی ثانیه در

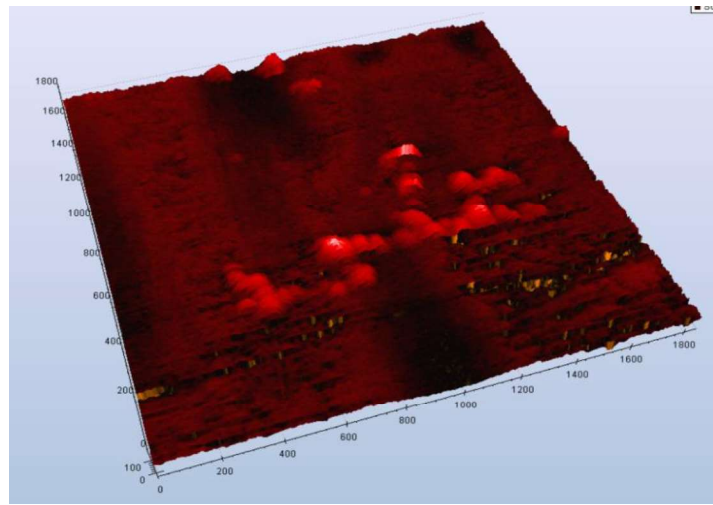
۳۰ / مطالعه و بررسی کتی و کیفی پارامترهای مؤثر در انجام لیتوگرافی سطح با میکروسکوپ تونلی روبشی

نظر گرفته شد و پس از مشاهده یک تپ در نقطه مدنظر ولتاژدهی متوقف می‌شود. در این روش اگر تعداد تپ‌ها زیاد شود اندازه نانوساختار بزرگ‌تر می‌شود. دامنه تصویربرداری در این آزمایش ۱۰۰۰ در ۱۰۰۰ نانومتر است.

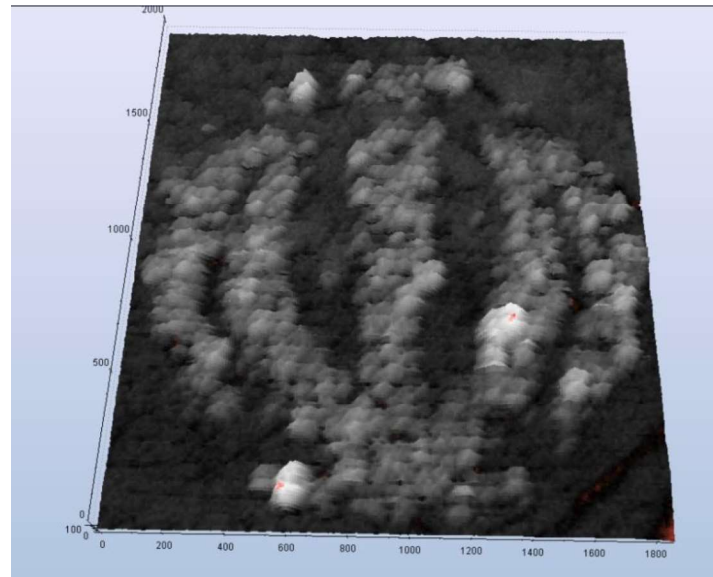
در ادامه، در شکل‌های ۶ تا ۹ از لیتوگرافی برای نوشتن روی سطح استفاده کردیم. در این جا هدف، نوشتن و قرائت پذیر بودن کلمه مدنظر بود. نتایج این روش در ادامه آمده است. این تصاویر با نرم‌افزار NAMA STM ویژه دستگاه STM تحلیل شده است. لازم است ذکر کنیم که، این اولین بار است که نام الله یا نام حضرت علی و آرم جمهوری اسلامی در ابعاد ملکولی و با دستگاه ساخت داخل کشور انجام می‌شود و بنا بر یافته‌های ما تاکنون در دنیا کشورهای اسلامی هنوز کشوری این دستگاه را نساخته یا تاکنون در این ابعاد و با این نوع دستگاه‌ها و الفبای عربی و فارسی نام و علامتی را در محاذل علمی و غیر علمی ثبت نکرده است.



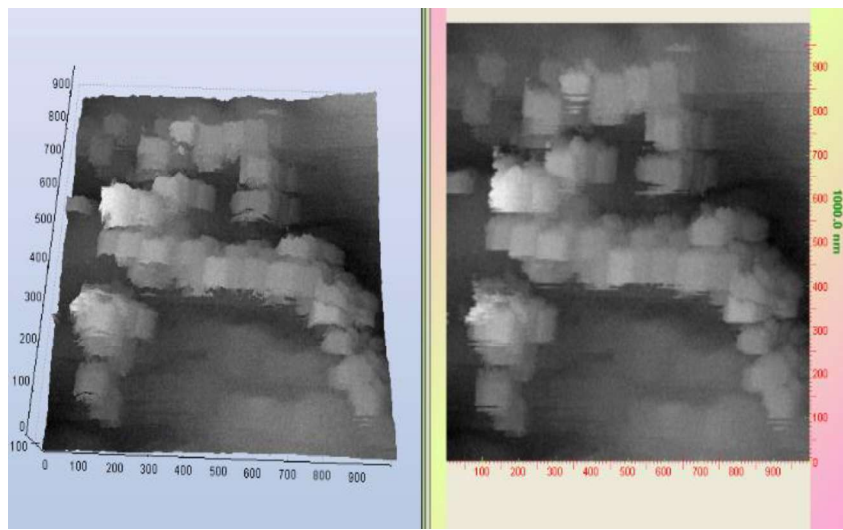
شکل ۶ کلمه جلاله الله نوشته بر سطح طلا به وسیله نوک تنگستن در ولتاژ ۶ ولت، مدت زمان هر تپ ۶،۰ میلی ثانیه، فاصله زمانی بین تپ‌ها ۲۰ میلی ثانیه سرعت حرکت نوک در سطح زمینه ۹۰۰ نانومتر در ثانیه، سرعت حرکت نوک در نقاط ایجاد الگو به صورت کسر $1,0 \times 90$ نانومتر در ثانیه تعیین شده است. دامنه تصویربرداری ۲۰۰۰ در ۲۰۰۰ نانومتر و لیتوگرافی با دستگاه NAMA- STM NATSYCO.



شکل ۷ کلمه علی نوشته بر سطح طلا به وسیله نوک تنگستن در ولتاژ ۶ ولت، مدت زمان هر تپ ۶، میلی ثانیه، فاصله زمانی بین تپ‌ها ۲۰ میلی ثانیه سرعت حرکت نوک در سطح زمینه ۹۰۰ نانومتر در ثانیه، سرعت حرکت نوک در نقاط ایجاد الگو به صورت کسر ۱/۰ از سرعت کل یعنی ۹۰ نانومتر در ثانیه تعیین شده است. دامنه تصویربرداری ۲۰۰۰ در ۲۰۰۰ نانومتر و لیتوگرافی با دستگاه NAMA- STM NATSYCO.



شکل ۸ آرم جمهوری اسلامی ایران نوشته بر سطح طلا به وسیله نوک تنگستن در ولتاژ ۶ ولت، مدت زمان هر تپ ۶، میلی ثانیه، فاصله زمانی بین تپ‌ها ۲۰ میلی ثانیه، سرعت حرکت نوک در سطح زمینه ۹۰۰ نانومتر در ثانیه، سرعت حرکت نوک در نقاط ایجاد الگو به صورت کسر ۱/۰ از سرعت کل یعنی ۹۰ نانومتر در ثانیه تعیین شده است. دامنه تصویربرداری ۲۰۰۰ در ۲۰۰۰ نانومتر و لیتوگرافی با دستگاه NAMA- STM NATSYCO.



شکل ۹ حرف A نوشته بر سطح طلا به وسیله نوک تنگستن در ولتاژ ۶ ولت، مدت زمان هر تپ ۰.۶ میلی ثانیه، فاصله زمانی بین تپ‌ها ۲۰ میلی ثانیه، سرعت حرکت نوک در سطح زمینه ۶۳۸ نانومتر در ثانیه، سرعت حرکت نوک در نقاط ایجاد الگو به صورت کسر $1/0.07638$ نانومتر در ثانیه تعیین شده است. دامنه تصویربرداری ۴۰۰۰ در ۲۰۰۰ نانومتر و لیتوگرافی با دستگاه NAMA-STM NATSYCO.

در این بخش نیز از برخی پارامترهای مشخص شده در آزمایش‌های قبلی همچون ولتاژ، مدت زمان تپ‌ها و فاصله زمانی بین تپ‌ها استفاده شد. درباره سرعت حرکت سوزن در حین الگودهی سطح نیاز به آزمایش‌های بیشتری است. زیرا در اکثر موارد سرعت ۹۰۰ نانومتر در ثانیه سرعت مؤثر برای ایجاد الگو بود و در سرعت‌های غیر از این مقدار احتمال ایجاد اشکال طبق الگو بسیار کاهش می‌یافتد.

۵. بحث و نتیجه‌گیری

در این مقاله هدف ما استفاده از دستگاه STM ساخت داخل و انجام لیتوگرافی با این دستگاه است که برای اولین بار در ایران انجام شده است. در این راستا پارامترهای مختلفی از دستگاه آزمون شد و مطابق با موارد مشابه انجام گرفته خارجی، دستگاه توانایی لازم جهت انجام لیتوگرافی را نشان داد. تکرار پذیری لیتوگرافی با این دستگاه نیز از جمله نقاط قوت این دستگاه بود که از حالت تصادفی بودن پدیده لیتوگرافی به حالت تکرار پذیر بودن با استفاده از نرم افزار و سخت افزار ارائه شده در سیستم امکان پذیر شده بود. با توجه به این آزمون‌ها، ایجاد نانوساختار به وسیله نوک‌های تنگستن، طلا، پلاتین-پالادیوم و رمانيوم امکان پذیر است. هر چند در مطالعه‌ما نوک تنگستن، نوک مناسب‌تری برای این منظور تشخیص داده شد. ولتاژ استفاده شده در لیتوگرافی در

ایجاد نانوساختار تأثیرگذار است به طوری که در مطالعه ما امکان ایجاد نانوساختار در ولتاژ زیر ۳ ولت امکان پذیر نبود. همچنین این عامل در اندازه نانوساختارها نیز تأثیرگذار است به طوری که با افزایش ولتاژ اندازه نانوساختارها نیز بزرگ می‌شود. سرعت حرکت نوک در حین انجام لیتوگرافی عامل مؤثر دیگری است که در اندازه نانوساختار و پیوستگی آن تأثیرگذار است. به طوری که در سرعت‌های کم، اندازه نانوساختارها بزرگ شده و پیوستگی آن‌ها نیز بیشتر می‌شود و با افزایش سرعت اندازه نانوساختارها کوچک شده و از پیوستگی و مرتب بودن نانوساختارها کاسته می‌شود در ترکیب اثر پارامترهای سرعت و ولتاژ می‌توان گفت، در ولتاژ‌های کمتر از ۳ ولت حتی با کم کردن سرعت نمی‌توان نانوساختار ایجاد کرد و در ولتاژ‌های زیاد نیز با سرعت بیشتر از ۱۵۰ نانومتر امکان ایجاد نانوساختار نیست و در واقع کمترین ولتاژ لازم برای ایجاد نانوساختارها ۳ ولت و بیشترین سرعت هم ۱۵۰ نانومتر در ثانیه می‌باشد. زمان بین تپ‌های متوالی نیز در مرتب بودن نانوساختارها و پیوستگی آن‌ها تأثیرگذار است و باید بر حسب شرایط و هدف لیتوگرافی مقدار آن را مشخص کرد. شکل هندسی رأس نوک و رطوبت و دما نیز جزء عامل‌های تأثیرگذارند که بررسی اثر این پارامترها مستلزم مطالعات بیشتر است. البته با توجه به آنکه لیتوگرافی با نوک که به روش الکتروشیمیایی یا روش مکانیکی برش دستی انجام می‌شود، تیزی نوک متغیر است و تماماً این تیزی نوک به صورت تجربی به دست کاربر می‌آید و نمی‌توان نتایج لیتوگرافی دیگران را با نتایج این مطالعه به صورت کمی مقایسه کرد.

۶. تقدیر و تشکر

مقاله حاضر بخشی از پایان‌نامه دوره کارشناسی ارشد مصوب دانشگاه علوم پزشکی تهران است، که نویسنده‌گان این مقاله از حمایت‌های: دانشگاه علوم پزشکی تهران و پژوهشکده فناوری‌ها و تجهیزات پیشرفته پزشکی مرکز تحقیقات علوم و تکنولوژی در پزشکی؛ بیمارستان امام خمینی (ره) تشکر می‌کنند. همچنین از همکاری و همراهی شرکت نانو سیستم پارس به منظور فراهم کردن دستگاه میکروسکوپ تونلی روبشی با نام NAMA-STM برای تصویربرداری و پژوهش در زمینه علمی این تحقیق، کمال تشکر و قدردانی را داریم.

منابع

- [1] Becker E. W., Ehrfeld W., Hagmann P., Maner A. and Munchmeyer D., Fabrication of microstructures with high aspect ratios and great structural heights by synchrotron radiation lithography, aalvanofroming, and plastic moulding (LIGA process), *Microelectoron. Eng.*, **4**, 35–56, 1986.
- [2] Yamazaki K., Yamaguchi T. and Namatsu H., Three-dimensional nanofabrication with 10-nm resolution, *Jpn. J. Appl. Phys.* **43**, 1111–1113, 2004.

- [3] Schmidt B., Bischof L. and Teichert J., Writing FIB implantation and subsequent anisotropic wet chemical etching for fabrication of 3D structures in silicon, *Sensors Actuators A* **61**, 369–373, 1997.
- [4] Kawasegi N., Lee D. W., Morita N., and Park J. W., Nanofabrication fundamentals and applications, Chapter 2: Atomic force microscope lithography, Ampera A Tseng, Arizona State University. 33-64, 2008.
- [5] Sattler K., Nanolithography Using the Scanning Tunneling Microscope, *Jpn. J. Appl. Phys.* **42**, 4825–4829, 2003.
- [6] Owen G., Method and apparatus for hybrid IC lithography, Google Patents, US4812661A. 1989.
- [7] Toumey C., Plenty of room, plenty of history, *Nature Nanotechnology* **4**, 783-784, 2009.
- [8] Taniguchi N., On the Basic Concept of 'Nano Technology, Proceedings of the International Conference on Production Engineering, Tokyo. Japan, 1974.
- [9] Drexler KE, Nanosystems- Molecular machinery, manufacturing, and computation, John Wiley & Sons. New York, 449-458, 1992.
- [10] Drexler KI, Engines of Creation: The coming era of nanotechnology, 1986. New York, NY, Anchor Press/Doubleday .Retour, 2008.
- [11] Binnig G, Rohrer H. In touch with atoms, *Reviews of Modern Physics* **71**, 324-330, 1999.
- [12] Staufer U., Wiesendanger R., Eng L., Rosenthaler L., Hidber H. R., Guntherodt H.J., and Garcia N., Nanometer scale structure fabrication with the scanning tunneling microscope, *Applied Physics Letters* **51**, 244-246, 1987.
- [13] Zhou L., Xu G. Q., Ng H. T., and Li S. F. Y., Scanning thermal microscope tip-induced chemical reaction on solid organometallic compound thin films, *Journal of Vacuum Science & Technology*, **B15**, 1871-1875, 1997.
- [14] Dagata J. A., Schneir J., Harary H. H., Evans C. J., Postek M. T. et al., Modification of hydrogenpassivated silicon by a scanning tunneling microscope operating in air, *Appl. Phys. Lett* **56**, 2001-2003, 1990.
- [15] Tseng, A. A., Notargiacomo, A. & Chen, Nano fabrication by scanning probe microscope lithography: A review, *Ampere A. Tseng, J. Vac. Sci. Technol. B* **23**, 877-894, 2005.
- [16] Liu Yun and Zhang Jia, Nanolithography on SrRuO₃ thin film surfaces by scanning tunneling microscopy, *Physica B* **405**, 1890–1893, 2010.
- [17] McCord M. A. and Pease R. F. W., Lift-o metallization using poly (methyl methacrylate) exposed with a scanning tunneling microscope, *J. Vac. Sci. Technol. B* **6**, 293–296, 1988.
- [18] Marrian C. R. K., Dobisz E. A. and Colton R. J., Lithographic studies of an e-beam resist in a vacuum scanning tunneling microscope, *J. Vac. Sci. Technol. A* **8**, 3563–3569, 1990.
- [19] Marrian C. R. K., Dobisz E. A. and Dagata J. A., Electron-beam lithography with the scanning tunneling microscope, *J. Vac. Sci. Technol. B* **10**, 2877–2881, 1992.
- [20] Moreland J. and Rice P., High-resolution, tunneling-stabilized magnetic imaging and recording, *Appl. Phys. Lett* **57**, 310–312, 1990.
- [21] Wilder K., Quate C. F., Adderton D., Bernstein R. and Elings V., Noncontact nano lithography using the atomic force microscope, *Appl. Phys. Lett* **73**, 2527–2529, 1998.
- [22] Tikkanen T., Computer simulation of scanning tunneling microscopy of adsorb molecules on metal surfaces, master of science thesis, Tamper University of Technology Master's Degree Program in Science and Engineering. Zurich. Switzerland, 2012.